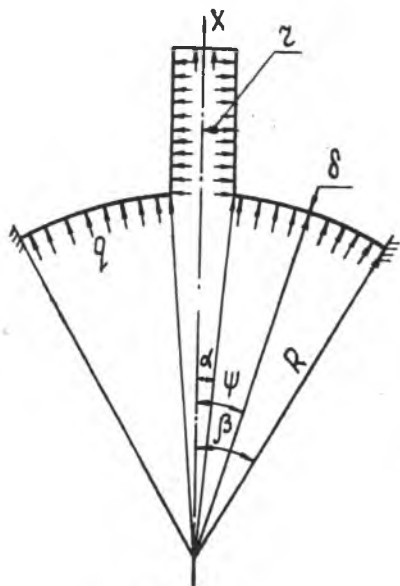


Б. А. ГОРЛАЧ

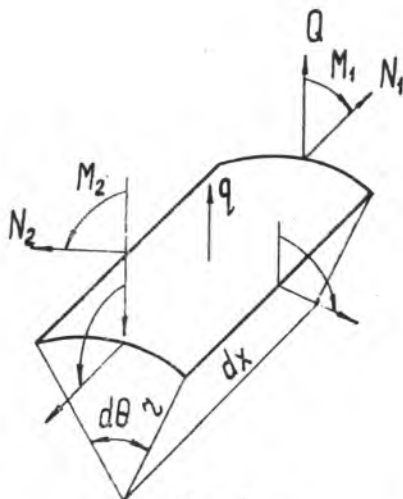
РАСЧЕТ ПРОЧНОСТИ СОЕДИНЕНИЯ СФЕРИЧЕСКОЙ ОБОЛОЧКИ И ЦИЛИНДРИЧЕСКОГО ПАТРУБКА С УЧЕТОМ ПЛАСТИЧЕСКИХ ДЕФОРМАЦИЙ

В статье приводится метод расчета соединения сферической оболочки с цилиндрическим патрубком (непосредственно или через переходное жесткое кольцо) с учетом пластических деформаций (фиг. 1, 2).

1. Запишем исходное дифференциальное уравнение упруго-



Фиг. 1.



Фиг. 2.

пластического изгиба цилиндрической оболочки при нагружении равномерно-распределенным давлением q [2]:

$$\varepsilon_2^{IV} + 9m^2 \varepsilon_2 = -6m^3 \left(\frac{1}{2} \alpha - \beta + \eta'' \right) + \frac{27m^3}{4E} q. \quad (1)$$

Здесь ε_2 — окружная деформация; E — модуль упругости, $m = \frac{r}{\delta}$ (r — радиус срединной поверхности цилиндрической оболочки, δ — ее толщина). Функции α , β и η определяются по формулам (3). Штрих означает производную по $\xi = \frac{x}{r}$.

Нелинейное дифференциальное уравнение (1) решается методом последовательных приближений (методом упругих решений А. А. Ильюшина). Если оболочка достаточно длинная, то для n -ого приближения решение уравнения будет иметь вид: ($k = \sqrt{3m/2}$)

$$\varepsilon_2^{(n)} = e^{-k\xi} [A^{(n)} \cos k\xi + B^{(n)} \sin k\xi] + \frac{3m}{4E} q + \varepsilon_{2p}^{(n)},$$

где $\varepsilon_{2p}^{(n)}$ — функция, удовлетворяющая уравнению:

$$\varepsilon_{2p}^{(n)IV} + 9m^2 \varepsilon_{2p}^{(n)} = 6m^3 (\alpha - \beta + 2\eta'')^{(n-1)}. \quad (2)$$

После переноса слагаемого $9m^2 \varepsilon_{2p}^{(n)}$ в правую часть этого уравнения и замены в нем неизвестной функции $\varepsilon_{2p}^{(n)}$ на полученную в $(n-1)$ -м приближении функцию $\varepsilon_{2p}^{(n-1)}$ (причем, $\varepsilon_{2p}^{(0)} = 0$) квадратурами легко отыскать $\varepsilon_{2p}^{(n)}$ и ее производные:

$$\varepsilon_2^{(n)} = \int_{\xi_0}^{\xi} \int_{\xi_0}^{\xi} \left[\int_{\xi_0}^{\xi} \int_{\xi_0}^{\xi} G^{(n)} d\xi d\xi - 12m^3 \eta^{(n-1)} \right] d\xi d\xi,$$

$$G^{(n)} = 9m^2 \left[\frac{2}{3} m (2\beta - \alpha)^{(n-1)} - \varepsilon_{2p}^{(n-1)} \right].$$

Здесь ξ_0 — координата свободного конца цилиндрической оболочки. Постоянные интегрирования $A^{(n)}$ и $B^{(n)}$ определяются из граничных условий при $\xi = 0$.

Зная $\varepsilon_2^{(n)}$, можно определить деформации, усилия и моменты в n -ом приближении

$$\varepsilon_1^{(n)} = \frac{1}{2} \varepsilon_2^{(n)} + m\alpha^{(n-1)} + \frac{3m}{8E} q, \quad \chi_1^{(n)} = -\frac{1}{r} \varepsilon_2^{(n)'},$$

$$\varepsilon_2^{(n)'} = 2k^2 e^{-k\xi} [A^{(n)} \sin k\xi - B^{(n)} \cos k\xi] + \varepsilon_{2p}^{(n)'},$$

$$\vartheta^{(n)} = ke^{-k\xi} [A^{(n)} (\cos k\xi + \sin k\xi) + B^{(n)} (\sin k\xi - \cos k\xi)] - \varepsilon_{2p}^{(n)'},$$

$$N_2^{(n)} = \frac{4}{3} E \delta \left[\varepsilon_2^{(n)} + \frac{1}{2} \varepsilon_1^{(n)} - m\beta^{(n-1)} \right],$$

$$M_1^{(n)} = \frac{1}{9} E \delta^3 \left[\chi_1^{(n)} - \frac{12m^3}{r} \eta^{(n-1)} \right],$$

$$M_2^{(n)} = \frac{1}{9} E \delta^3 \left[\frac{1}{2} \kappa_1^{(n)} - \frac{12m^3}{r} \Theta^{(n-1)} \right],$$

$$Q^{(n)} = \frac{E \delta^3}{9r^2} \left\{ 2k^3 e^{-k\xi} [(A^{(n)} - B^{(n)}) \sin k\xi - (A^{(n)} + B^{(n)}) \cos k\xi] - \int_{\xi}^{\pi} G^{(n)} d\xi \right\}$$

Кроме того, в любом приближении:

$$N_1 = \frac{r}{2} q.$$

Нормальные напряжения будут при этом равны:

$$\sigma_1^{(n)} \left(\pm \frac{\delta}{2} \right) = \frac{4}{3} E \left[1 - \omega^{(n-1)} \left(\pm \frac{\delta}{2} \right) \right] \left[\varepsilon_1^{(n)} + \frac{1}{2} \varepsilon_2^{(n)} \mp \frac{1}{2m} \varepsilon_2^{(n)r} \right],$$

$$\sigma_2^{(n)} \left(\pm \frac{\delta}{2} \right) = \frac{4}{3} E \left[1 - \omega^{(n-1)} \left(\pm \frac{\delta}{2} \right) \right] \left[\varepsilon_2^{(n)} + \frac{1}{2} \varepsilon_1^{(n)} \mp \frac{1}{4m} \varepsilon_2^{(n)r} \right],$$

причем [1]:

$$\omega^{(n)} = \left(1 - \frac{1}{E} \frac{d\sigma_i^{(n)}}{de_i} \right) \left(1 - \frac{e_T}{e_i^{(n)}} \right).$$

Здесь:

e_T — деформации, соответствующие пределу текучести,

$e_i^{(n)}$ — интенсивность деформаций:

$$e_i^{(n)} = \sqrt{\gamma_0^{(n)} + \gamma_1^{(n)} t + \gamma_2^{(n)} t^2}, \quad t = \frac{z}{\delta/2};$$

$$\gamma_0^{(n)} = \frac{4}{3} \left[\varepsilon_1^{(n)2} + \varepsilon_1^{(n)} \varepsilon_2^{(n)} + \varepsilon_2^{(n)2} \right], \quad \gamma_1^{(n)} = \frac{4}{3m} \left[\varepsilon_1^{(n)} + \frac{1}{2} \varepsilon_2^{(n)} \right] \varepsilon_2^{(n)r},$$

$$\gamma_2^{(n)} = \frac{1}{3m^2} \left(\varepsilon_2^{(n)r} \right)^2, \quad \mu_\kappa^{(n)} = \int_{-1}^1 \omega^{(n)} t^\kappa dt, \quad \kappa = 0, 1, 2.$$

z — расстояние, отсчитываемое от срединной поверхности оболочки в направлении внешней нормали.

Вычислив затем:

$$\begin{aligned} \alpha^{(n)} &= \frac{1}{2m} \left[\mu_0^{(n)} \left(\varepsilon_1^{(n)} + \frac{1}{2} \varepsilon_2^{(n)} \right) - \frac{\mu_1^{(n)}}{2m} \varepsilon_2^{(n)r} \right], \\ \beta^{(n)} &= \frac{1}{2m} \left[\mu_0^{(n)} \left(\varepsilon_2^{(n)} + \frac{1}{2} \varepsilon_1^{(n)} \right) - \frac{\mu_1^{(n)}}{4m} \varepsilon_2^{(n)r} \right], \\ \gamma_1^{(n)} &= \frac{1}{4m} \left[\mu_1^{(n)} \left(\varepsilon_1^{(n)} + \frac{1}{2} \varepsilon_2^{(n)} \right) - \frac{\mu_2^{(n)}}{2m} \varepsilon_2^{(n)r} \right], \\ \Theta^{(n)} &= \frac{1}{4m} \left[\mu_1^{(n)} \left(\varepsilon_2^{(n)} + \frac{1}{2} \varepsilon_1^{(n)} \right) - \frac{\mu_2^{(n)}}{4m} \varepsilon_2^{(n)r} \right], \end{aligned} \quad (3)$$

можно перейти к вычислению $\varepsilon_2^{(n+1)}$ и других величин в $(n+1)$ -м приближении.

2. При расчете соединения непологой, достаточно «длинной» и тонкой сферической оболочки с цилиндрическим патрубком можно пренебречь влиянием несопрягаемых краев оболочек на напряженное состояние у места стыка. Тогда решение уравнений упруго-пластического изгиба сферической оболочки* для n -ого приближения будет иметь вид:

$$\begin{aligned}\varepsilon^{(n)} &= \gamma (C_2^{(n)} p_2 + D_2^{(n)} q_2) \mp \frac{m}{2E} q + \varepsilon_p^{(n)}, \\ \chi^{(n)} &= -2\gamma\lambda (C_2^{(n)} q_2 - D_2^{(n)} p_2) + \chi_p^{(n)}, \\ \zeta^{(n)} &= -3\gamma (C_2^{(n)} r_2 + D_2^{(n)} s_2) + \zeta_p^{(n)}, \\ \tau^{(n)} &= -2\gamma\lambda (C_2^{(n)} s_2 - D_2^{(n)} r_2) + \tau_p^{(n)}.\end{aligned}$$

Постоянные интегрирования $C_2^{(n)}$, $D_2^{(n)}$ определяются из условий при $\psi = \alpha$.

3. Граничные условия в месте соединения сферы с цилиндрическим патрубком запишутся следующим образом ($\xi = 0$, $\psi = \alpha$).

Непосредственное соединение:

$$\begin{aligned}1. M_{1c}^{(n)} &= M_{1c}^{(n)}, & 3. \vartheta_{1c}^{(n)} + \vartheta_c^{(n)} &= 0, \\ 2. Q_{1c}^{(n)} + H_c^{(n)} &= 0, & 4. \varepsilon_{2c}^{(n)} &= \varepsilon_{2c}^{(n)};\end{aligned}$$

Соединение через жесткое кольцо:

$$\vartheta_{1c}^{(n)} = \vartheta_c^{(n)} = 0, \quad \varepsilon_{2c}^{(n)} = \varepsilon_{2c}^{(n)} = 0.$$

Распорное усилие на сферической оболочке:

$$H^{(n)} = \frac{1}{\cos \alpha} \left(N_1^{(n)} - \frac{R \sin^2 \alpha}{2} q \right).$$

Расписав граничные условия, получим 4 линейных алгебраических уравнения относительно неизвестных $A^{(n)}$, $B^{(n)}$, $C_2^{(n)}$ и $D_2^{(n)}$. Определив их, можно вычислить все интересующие нас величины в n -ом приближении.

На ЭВМ «Урал-2» были проведены расчеты рассматриваемого сочленения с параметрами $\delta_{1c} = \delta_c = 1$ мм, $R = 500$ мм, $\alpha = 5^\circ$, выполненного из материала, имеющего $E = 2,1 \cdot 10^4$ кг/мм², $\frac{d\sigma_1}{d\varepsilon_L} = E' = 1,07 \cdot 10^3$ кг/мм², $e_T = 2,45 \cdot 10^{-3}$.

Интегрирование проводилось от свободных краев оболочек к стыку. Шаг интегрирования был принят следующим. Для сферы $\Delta\psi = 1^\circ$ при $8^\circ \leq \psi \leq 30^\circ$ ($\psi = 30^\circ$ — начало интегрирования) и далее $\Delta\psi = 15'$ от 8° до $\alpha = 5^\circ$ (зона ожидаемых пластических деформаций). Для цилиндра аналогично $\Delta\xi = 2 \cdot 10^{-2}$ от начала интегрирования $\xi_0 = 2 \cdot 10^{-1}$ до $\xi = 6 \cdot 10^{-2}$ и $\Delta\xi = 4 \cdot 10^{-3}$ при $0 \leq \xi \leq 6 \cdot 10^{-2}$.

* И. С. Ахмедьянов. Малые упруго-пластические деформации сферической оболочки при осесимметричном нагружении (Помещена в настоящем сборнике).

Таблица 1

q	4,5	5,0	5,5	6,0	6,5
n	0	6	21	33	∞

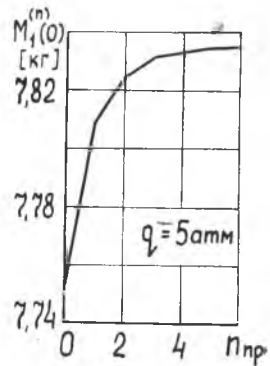
Таблица 2

q	12	14	16	17	18	18,8	19
n	0	3	12	19	29	62	∞

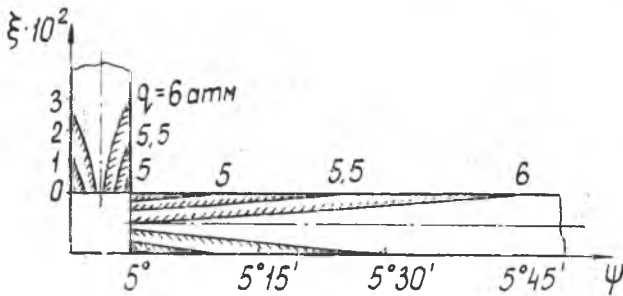
На фиг. 3—7 и в табл. 1 приведены результаты расчета сочленения оболочки без кольца. Сходимость процесса для $q = 5 \text{ атм}$ показана на фиг. 3. На вычисление одного приближения затрачивалось от 5 до 30 сек. машинного времени в зависимости от величины зон пластических деформаций (фиг. 4).

Как видно из табл. 1, сходимость процесса последовательных приближений резко ухудшается с ростом нагрузки и расходится при $q = 6,5 \text{ атм}$.

На фиг. 5 показано поведение моментов $m_1 = \frac{M_1}{M_T}$ и нормальных напряжений

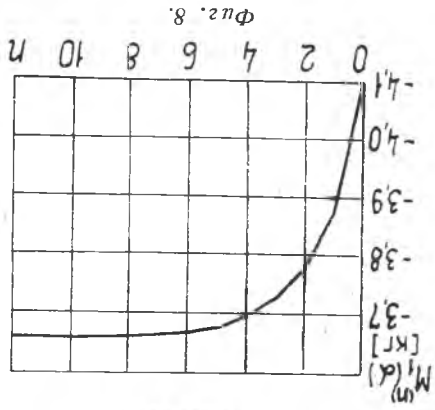
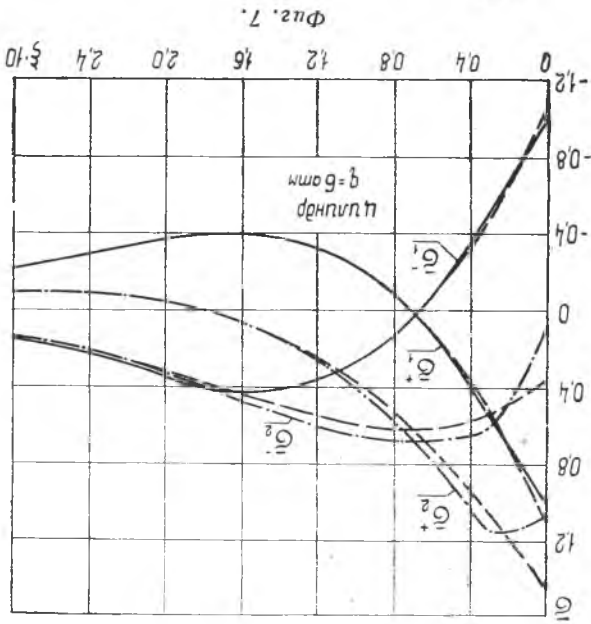


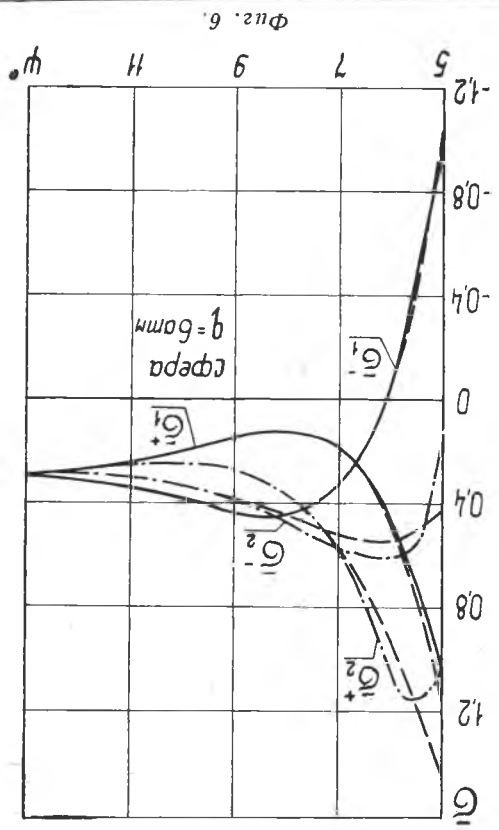
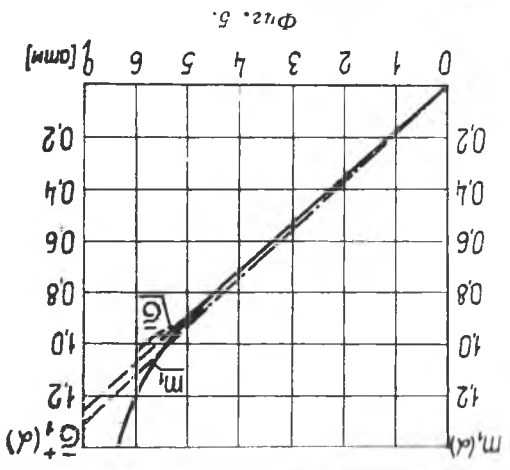
Фиг. 3.

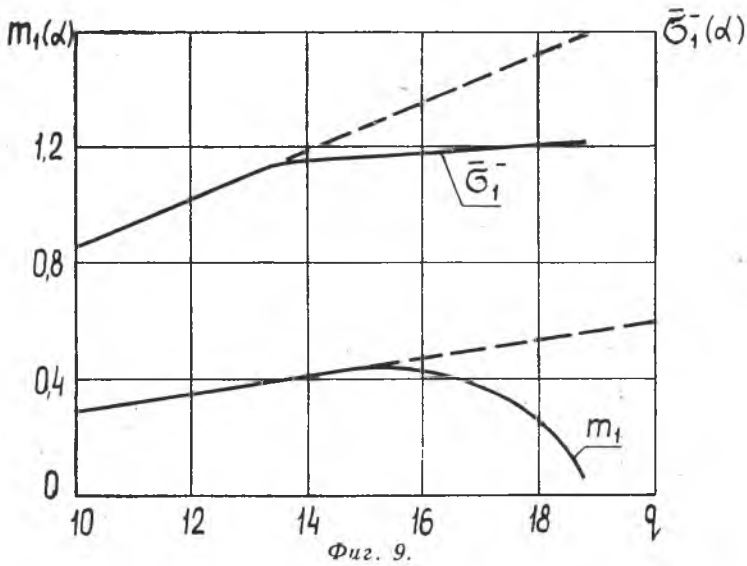


Фиг. 4.

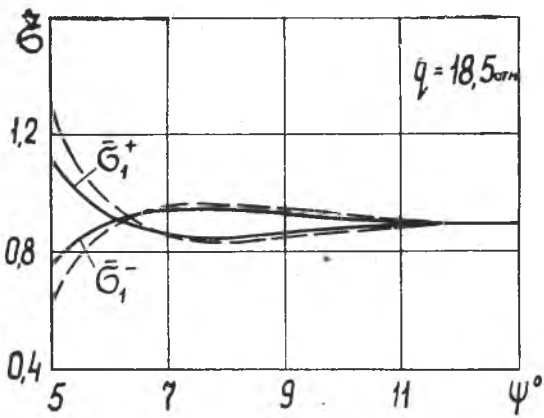
$\bar{\sigma}_1^+ = \frac{\sigma_1 \left(+ \frac{\delta}{2} \right)}{\sigma_T}$ в месте соединения оболочек при увеличении нагрузки. Здесь $M_T = \frac{\sigma_T \delta^2}{6}$, $\sigma_T = e_T E$.







Фиг. 9.



Фиг. 10.

Рост моментов по сравнению с линейной теорией можно объяснить быстрым ростом кривизны с развитием пластических деформаций.

На фиг. 6 и 7 показано перераспределение напряжений в сферической и цилиндрической оболочках при появлении пластических деформаций.

На графиках 8, 9, 10 и в таблице 2 приведены результаты расчета соединения сферической оболочки с цилиндрическим патрубком при наличии жесткого переходного кольца. График на фиг. 8 построен для $q = 16 \text{ атм}$.

Как видно из графиков, постановка жесткого кольца в месте стыка оболочек резко снижает максимальные напряжения. Пластические деформации в таком соединении появляются в сферической оболочке при $q = 14 \text{ атм}$. При давлении 19 атм процесс итераций расходится.

В цилиндрической оболочке при этих давлениях пластические деформации не возникают.

ЛИТЕРАТУРА

1. А. А. Ильюшин. Пластичность. Гостехиздат, 1948.
 2. И. С. Ахмедьянов. Расчет малых упруго-пластических деформаций цилиндрической оболочки, нагруженной внутренним давлением. Тезисы докладов научно-технической конференции КуАИ, Куйбышев, 1967 г.
-